MERAWAT INDONESIA DARI UDARA

(Studi Numerik Aerodinamika Sayap Airfoil NACA)

Sanksi Pelanggaran Pasal 113 Undang-undang No. 28 Tahun 2014 Tentang Hak Cipta

Setiap Orang yang dengan tanpa hak melakukan pelanggaran hak ekonomi sebagaimana dimaksud dalam Pasal 9 ayat (1) huruf i untuk Penggunaan Secara

pemegang Hak Cipta melakukan pelanggaran hak ekonomi Pencipta

Komersial dipidana dengan pidana penjara paling lama 1 (satu) tahun dan/atau pidana denda paling banyak Rp100.000.000 (seratus juta rupiah). 2. Setiap Orang yang dengan tanpa hak dan/atau tanpa izin Pencipta atau

1.

- sebagaimana dimaksud dalam Pasal 9 ayat (1) huruf c, huruf d, huruf f, dan/atau huruf h untuk Penggunaan Secara Komersial dipidana dengan pidana penjara paling lama 3 (tiga) tahun dan/atau pidana denda paling banyak Rp500.000.000,00 (lima ratus juta rupiah).
- 3. Setiap Orang yang dengan tanpa hak dan/atau tanpa izin Pencipta atau pemegang Hak Cipta melakukan pelanggaran hak ekonomi Pencipta sebagaimana dimaksud dalam Pasal 9 ayat (1) huruf a, huruf b, huruf e, dan/atau huruf g untuk Penggunaan Secara Komersial dipidana dengan pidana penjara

paling lama 4 (empat) tahun dan/atau pidana denda paling banyak

- Rp1.000.000.000,00 (satu miliar rupiah). Setiap Orang yang memenuhi unsur sebagaimana dimaksud pada ayat (3) yang 4. dilakukan dalam bentuk pembajakan, dipidana dengan pidana penjara paling
- (sepuluh) tahun dan/atau pidana denda paling banyak Rp4.000.000.000,00 (empat miliar rupiah).

MERAWAT INDONESIA DARI UDARA

(Studi Numerik Aerodinamika Sayap Airfoil NACA)

Bondhan Firmanto, S.T., M.Eng.



MERAWAT INDONESIA DARI UDARA

(Studi Numerik Aerodinamika Sayap Airfoil NACA)

Diterbitkan pertama kali oleh Penerbit Amerta Media
Hak cipta dilindungi oleh undang-undang All Rights Reserved
Hak penerbitan pada Penerbit Amerta Media
Dilarang mengutip atau memperbanyak sebagian atau seluruh isi buku ini
tanpa seizin tertulis dari Penerbit

Anggota IKAPI No 192JTE/2020

Cetakan Pertama: Mei 2023 15,5 cm x 23 cm

ISBN: 978-623-419-382-4

Penulis:

Bondhan Firmanto, S.T., M.Eng.

Editor:

Dimas Rahman Rizgian

Desain Cover: Dwi Prasetyo

Tata Letak: Ladifa Nanda

Diterbitkan Oleh:

Penerbit Amerta Media

NIB. 0220002381476

Jl. Raya Sidakangen, RT 001 RW 003, Kel, Kebanggan, Kec. Sumbang, Purwokerto, Banyumas 53183, Jawa Tengah. Telp. 081-356-3333-24

Email: mediaamerta@gmail.com Website: amertamedia.co.id Whatsapp: 081-356-3333-24

Isi di luar tanggung jawab penerbit Amerta Media

Kata Pengantar

Bismillahirrahmanirrahim.

Puji syukur penulis panjatkan ke hadirat Allah SWT, yang telah memberikan kekuatan, ketekunan dan kesabaran sehingga buku yang sudah lama dipersiapkan ini, akhirnya dapat diselesaikan. Buku ini merupakan pengembangan dari penelitian yang penulis laksanakan, ketika menempuh studi pada Universitas Gadjah Mada. Sumber bacaan pokok dari penulisan buku ini adalah User's Guide Ansys, sebagai pelengkap juga diambilkan dari beberapa sumber lainnya antara lain buku, paper, dan jurnal ilmiah lainnya.

Buku ini dipersiapkan terutama untuk para pemula baik akademisi, peneliti, maupun umum yang sedang mempelajari Simulasi Aerodinamika 3D menggunakan software ANSYS. Langkah-langkah melakukan simulasi aerodinamika disajikan menggunakan software ANSYS dan dikemas secara sederhana dalam buku ini agar dapat langsung diaplikasikan atau dipraktikkan oleh pemula.

Pembahasan dalam buku ini terdiri dari tiga bagian utama, yakni bagian pertama berisi tentang *preprocessing* yaitu tahap awal persiapan simulasi yang meliputi pembuatan desain 3D objek penelitian dan diskritisasi. Pada bagian kedua, dibahas mengenai *processing* atau *flow solving* yaitu tahap komputasi, dan bagian ketiga diuraikan mengenai *postprocessing* yaitu tahap pengolahan data hasil komputasi.

Penulis mengucapkan terimakasih yang setinggi-tingginya kepada semua pihak yang telah membantu sehingga dapat diterbitkannya buku ini. Penulis menyadari bahwa buku ini jauh dari sempurna sehingga kritik, saran, dan masukan serta koreksi sangat diharapkan dari semua pembaca.

Akhirnya, semoga buku ini dapat bermanfaat bagi pembaca yang ingin mempelajari Simulasi Aerodinamika 3D menggunakan software ANSYS. Penulis juga berharap, buku ini dapat menjadi inspirasi bagi diri penulis dan semua pembaca dalam mengembangkan pendidikan maupun penelitian dengan metode simulasi, khususnya komputasi dinamika fluida. *Jazakumullahu khairan.*

Yogyakarta, Mei 2023 Penulis.

Bondhan Firmanto, S.T., M.Eng.

Daftar Isi

HALAMAN JUDUL	i
TENTANG BUKU	iv
KATA PENGANTAR	v
DAFTAR ISI	vii
DAFTAR TABEL	x
DAFTAR GAMBAR	
DAFTAR SINGKATAN	xiv
DAFTAR NOTASI	
BAB 1 Pendahuluan	1
BAB 2 Perkembangan Mutakhir Studi Airfoil NACA 4 digits o	lan
Komputasi Dinamika Fluida tentang Vortex Generator	
A. Airfoil NACA 4 digits	
B. Analisis Numerik Komputasi Dinamika Fluida tentang	
Vortex Generator	
BAB 3 Dasar-Dasar Aerodinamika	34
A. Densitas Udara	
B. Tekanan Statik	
C. Temperatur Udara	
•	
BAB 4 Gaya yang Bekerja pada Pesawat Udara	37
A. Gaya berat (<i>weight</i>)	
B. Gaya angkat (<i>lift</i>)	
C. Gaya dorong (<i>thrust</i>)	
D. Gaya hambat (<i>drag</i>)	

E. Lift to drag ratio (L/D)	40
BAB 5 NACA Airfoil	42
BAB 6 Geometri Sayap	46
A. Aspect ratio	47
B. Tapper ratio	
C. Mean aerodynamic chord (MAC)	49
D. Wing tips	50
BAB 7 Teori Lapis Batas, Pemisahan Aliran, <i>Vortex</i> dan	
Boundary Layer Control	
A. Teori Lapis Batas	
B. Pemisahan Aliran	
C. Vortex	
D. Boundary Layer Control	61
BAB 8 Komputasi Dinamika Fluida	63
A. Preprocessing	65
B. Flow solving	67
C. Postprocessinga	70
BAB 9 Persamaan Atur Aliran	72
A. Persamaan Kontinyuitas	72
B. Persamaan Navier-Stokes	
BAB 10 Diskretisasi, Metode Komputasi dan	
Kriteria Konvergen	74
A. Diskretisasi	
B. Metode Komputasi	76
C. Kriteria Konvergen	80
BAB 11 Karakteristik Koefisien <i>Lift</i> (C_L) dan <i>Drag</i> (C_D)	
terhadap Sudut Serang (AoA)	82
A. Karakteristik Koefisien $Lift(C_L)$ terhadap Sudut Serang	
(AoA)	85
B. Karakteristik Koefisien $Drag(C_D)$ terhadap Sudut Serang	
(AoA)	89

BAB 12 Karakteristik <i>Lift to Drag Ratio</i> Terhadap Sudut Serang (<i>AoA</i>)	93
BAB 13 Karakteristik Aliran Fluida	97
A. Kontur Tekanan dan Kontur Kecepatan	97
B. Turbulent Viscosity	
BAB 14 Penutup	108
DAFTAR PUSTAKA	111
INDEKS	114
PROFIL PENULIS	116

Daftar Tabel

Tabel 1.1	bel 1.1 Tabel Spesifikasi Perangkat Keras Untuk	
	Metode Numerik	7
Tabel 1.2	Tabel Perangkat Lunak Untuk Metode Numerik	8
Tabel 1.3	Rangkuman Pengaturan Solver	18
Tabel 2.1	Matriks Penelitian Tinjauan Pustaka	27
Tabel 3.1	Daftar Standar Atmosfer Internasional	36

Daftar Gambar

Gambar 1.1	Pesawat Udara CN295 TNI AU buatan PTDI	3
Gambar 1.2	Vortex generator pada sebuah sayap pesawat udar	a4
Gambar 1.3	Diagram Alir Penelitian	6
Gambar 1.4	Geometri 2D airfoil hasil plotting di website	
	www.airfoiltools.com	9
Gambar 1.5	CAD 3D model sayap	9
Gambar 1.6	CAD 3D vortex generator	10
Gambar 1.7	Geometri domain komputasi	11
Gambar 1.8	Hasil global meshing tanpa vortex generator	12
Gambar 1.9	Hasil meshing dengan vortex generator	12
Gambar 1.10	Hasil meshing polyhedral	13
Gambar 1.11	Definisi bidang boundary condition	14
Gambar 1.12	Hasil mesh independency test	15
Gambar 1.13	Residual	
Gambar 1.14	Report plot CL	16
Gambar 1.15	Hasil cek keseimbangan mass flow rate	19
Gambar 2.1	Tipe formasi pesawat	22
Gambar 2.2	Konfigurasi passive vortex generator pada sayap	
	UAV ALUDRA	24
Gambar 2.3	Domain komputasi dan hasil akhir meshing	25
Gambar 2.4	Model geometri VG pada turbin angin	26
Gambar 4.1	Gaya yang bekerja pada pesawat udara	38
Gambar 5.1	Tipe airfoil hasil penelitian Langley tahun 1929	43
Gambar 5.2	Termonilogi airfoil	44
Gambar 6.1	Geometri sayap	46
Gambar 6.2	Contoh model sayap dengan aspek ratio (AR)	47
Gambar 6.3	Distribusi lift pada wing planform ellips	48

Gambar 6.4	Planform sayap yang berbeda tapper ratio	49
Gambar 6.5	Mean aerodynamic chord (MAC)	
Gambar 6.6	Berbagai model wing tips	
Gambar 7.1	Aliran uniform paralel terhadap plat datar	54
Gambar 7.2	Boundary layer di atas permukaan plat datar	55
Gambar 7.3	No-slip condition boundary layer di atas permukaan	
	plat	55
Gambar 7.4	Proses terjadinya flow separation pada airfoil	58
Gambar 7.5	Vortex flow	59
Gambar 7.6	a) Straight vortex filament, b) vortex sheet	59
Gambar 7.7	Starting vortex	
Gambar 7.8	Vortex yang terjadi pada sayap pesawat	61
Gambar 7.9	Jenis alat kendali pasif untuk menghasilkan	
	streamline vortex	62
Gambar 8.1	Ilustrasi mesh bidang (2D mesh) dan mesh volume	
	(3D mesh)	
Gambar 8.2	Rekomendasi kualitas mesh	67
Gambar 10.1	<i>Grid points</i> hasil diskretisasi pada bidang xy	75
Gambar 10.2	Grid pada control volume yang ditampilkan dalam	
	2 dimens	76
Gambar 11.1	Perbandingan C _L baseline terhadap nonlinear model	83
Gambar 11.2	Perbandingan <i>C</i> _D baseline terhadap nonlinear model	83
Gambar 11.3	Grafik C _L terhadap AoA hasil simulasi	84
Gambar 11.4	Grafik C _D terhadap AoA hasil simulasi	84
Gambar 11.5	Performa koefisien lift pada kecepatan 27,78 m/s	86
Gambar 11.6	Performa koefisien lift pada kecepatan 20,83 m/s	86
Gambar 11.7	Performa koefisien lift pada kecepatan 13,89 m/s	87
Gambar 11.8	Perbedaan nilai C _L tanpa VG dan dengan VG	87
Gambar 11.9	Performa koefisien drag pada kecepatan 27,78 m/s	89
Gambar 11.10	Performa koefisien drag pada kecepatan 20,83 m/s	90
Gambar 11.11	Performa koefisien drag pada kecepatan 13,89 m/s	90
Gambar 11.12	Perbedaan nilai C _D tanpa VG dan dengan VG	91
Gambar 12.13	Performa <i>lift to drag ratio</i> pada kecepatan 27,78	
	m/s	93
Gambar 12.14	Performa <i>lift to drag ratio</i> pada kecepatan 20,83	
	m/s	94
Gambar 12.15	Performa <i>lift to drag ratio</i> pada kecepatan 13,89	
	m/s	
Gambar 12.16	Perbedaan nilai C_L/C_D tanpa VG dan dengan VG	95

Gambar 13.1	Distribusi <i>pressure</i> pada sayap kecepatan 27,78 m/s
	(diperbesar)98
Gambar 13.2	Distribusi <i>velocity</i> pada sayap kecepatan 27,78 m/s
	(diperbesar)99
Gambar 13.3	Distribusi <i>pressure</i> pada sayap kecepatan 27,78 m/s
	(domain)100
Gambar 13.4	Distribusi velocity pada sayap kecepatan 27,78 m/s
	(domain)101
Gambar 13.5	Distribusi tekanan dan kecepatan di sekitar vortex
	generator103
Gambar 13.6	Distribusi tekanan dan kecepatan di sekitar <i>vortex</i>
	generator104
Gambar 13.7	Turbulent viscosity pada sayap tanpa
	vortex generator105

Daftar Singkatan

2D : 2 Dimensions 3D : 3 Dimensions

ANSI: American National Standard Institute

AoA : Angle of Attack C295 : Cassa 295

CAD : Computer Aided Design

CFD : Computational Fluid Dynamics

CN295 : Cassa Nusantara 295

KDF : Komutasi Dinamika Fluida

LE : Leading Edge

LES: Large Eddy Simulation

MUSCL: Monotonic Upstream-centered Scheme for Conservation

Laws

MVG : Micro Vortex Generator

NACA : National Advisory Committee for Aeronautics AirfoilsNASA : The National Aeronautics and Space Administration

POLRI : Kepolisian Republik Indonesia PRESTO! : Pressure Staggering Option

PTDI : Perseroan Terbatas Dirgantara Indonesia

PUNA : Pesawat Udara Nir Awak PVG : Passive Vortex Generator

QUICK : Quadratic Upwind Interpolation for Convective Kinetics

RSM : Reynolds Stress Model

SIMPLE: Semi-Implicit Method for Pressure-Linked Equations

SST : Shear Stress Transport STOL : Short Take Off and Landing

TE : Trailing Edge

TNI AU : Tentara Nasional Indonesia Angkatan Udara URANS : Unsteady Reynolds-Averaged Navier-Stokes

VG : *Vortex Generator*

Daftar Notasi

 C_L/C_D : Lift to drag ratio

 ΔX_{va} : Jarak *vortex generator* terhadap *baseline* (m)

 C_D : Drag coefficient C_L : Lift coefficient

 C_P : Pressure coefficient

 F_D : gaya hambat atau drag force (N) F_L : gaya angkat atau lift force (N) P_{∞} : Free stream pressure (Pa)

Re_{crit}: Nilai Reynolds number pada kondisi aliran transisi di

critical point

 Re_{rcr} : Nilai Reynolds number pada kondisi aliran transisi di

critical point

 Re_x : Reynolds number pada titik x di sepanjang plat datar

 U_{∞} : Free stream velocity (m/s) V_{∞} : Free stream velocity (m/s) V_{r} : Radial velocity component V_{θ} : Tangential velocity component

 x_{cr} : Critical point (m)

 au_{xx} : Tegangan geser pada plane x ke arah x (Pa) au_{xy} : Tegangan geser pada plane x ke arah y (Pa) au_{xz} : Tegangan geser pada plane x ke arah x (Pa) au_{yx} : Tegangan geser pada plane y ke arah x (Pa) au_{yy} : Tegangan geser pada plane y ke arah y (Pa) au_{yz} : Tegangan geser pada plane y ke arah y (Pa)

: Tegangan geser pada plane z ke arah x (Pa) τ_{zx} : Tegangan geser pada *plane z* ke arah y (Pa) au_{zv} : Tegangan geser pada *plane z* ke arah *z* (Pa) au_{zz}

: Turunan parsial terhadap waktu

: Turunan parsial terhadap lokasi x

 $\frac{\frac{\partial}{\partial t}}{\frac{\partial}{\partial x}} \frac{\partial}{\partial y} \frac{\partial}{\partial z}$: Turunan parsial terhadap lokasi y

: Turunan parsial terhadap lokasi z

 Δt : Interval waktu (s)

 Δx : *Mesh spacing* pada arah x Δy : *Mesh spacing* pada arah y : *Height* atau ketinggian (m) h. K-H vortex : Kelvin-Helmholtz vortex

Ма : Mach number yaitu rasio kecepatan objek dengan

kecepatan suara (Ma)

 Λ (lambda): Sweep angle pada sayap (°)

Α : planform area (m²)

AR: Aspect Ratio \mathcal{C} : *Chord* (m)

Р : Surface pressure (Pa) Re : Reynolds number S : Wing area (m²) T: Temperature (°K)

: Upstream velocity (m/s) V : Speed of sound (m/s) а

b : Wing span (m)

i : Komponen vektor pada arah x : Komponen vektor pada arah y : Komponen vektor pada arah z k

t : Waktu (s)

: Komponen kecepatan pada arah x (m/s) и : Komponen kecepatan pada arah y (m/s) v: Komponen kecepatan pada arah z (m/s) w

: Angle of attack (°) α (alpha)

 δ (delta) : Ketebalan boundary layer (m)

 ε (epsilon) : Dissipation rate

 ζ (zeta) : Vorticity

к (kappa) : Turbulent kinetic energy

 λ (lambda): Tapper ratio pada sayap atau jarak spacing antar vortex

generator

 μ (mu) : Viskositas dinamik atau viskositas absolut (kg/ms)

 ν (nu) : Viskositas kinematik (m²/s)

 ρ (rho) : Density (kg/m³)

 τ (tau) : Surface shear stress (Pa) ω (omega) : Specific dissipation rate

BAB 1 **Pendahuluan**

Sebagai negara kepulauan, Negara Kesatuan Republik Indonesia memiliki belasan ribu pulau yang terbentang dari Sabang sampai Merauke. Sesuai data Luas Daerah dan Jumlah Pulau Menurut Provinsi Tahun 2002-2016 yang diumumkan Badan Pusat Statistik Indonesia melalui website resminya menunjukkan bahwa Indonesia memiliki 17.504 pulau dengan total wilayah seluas 1.913.578,68 km². Wilayah Kepulauan Indonesia terdiri dari kumpulan pulau dan dipisahkan oleh permukaan air sehingga menyebabkan adanya perbedaan kondisi geografis dan perbedaan bentuk rupa bumi yang membatasi wilayah satu dengan wilayah lainnya. Perbedaan tersebut dapat menghambat akses menuju tiap-tiap wilayah sehingga sebagian wilayah Indonesia masih menjadi wilayah terpencil yang sulit dijangkau menggunakan moda transportasi darat, laut maupun udara. Kondisi seperti ini dapat mengakibatkan keterbatasan pengawasan dan pembinaan integrasi bangsa di wilayah terpencil, serta dapat berpotensi menjadi kendala dalam menjaga kedaulatan negara apabila tidak segera ditangani dengan strategi yang tepat.

Mengacu pada kondisi tersebut, Pemerintah Indonesia mengambil langkah nyata baik untuk kepentingan militer maupun non-militer berupa penyelenggaraan angkutan udara perintis atau lebih dikenal dengan istilah penerbangan perintis. Penerbangan perintis diselenggarakan untuk membuka, meningkatkan pertumbuhan ekonomi masyarakat dan memelihara pertahanan dan keamanan wilayah-wilayah terpencil yang sulit dijangkau dengan moda transportasi darat dan laut seperti wilayah di Papua dan di Provinsi

Aceh. Program tersebut disambut baik oleh instansi militer maupun nonmiliter, beberapa instansi diantaranya adalah TNI, Polri dan PT. Dirgantara Indonesia (PTDI).

Dalam rangka menyelenggarakan penerbangan perintis, TNI khususnya TNI AU mengoperasikan pesawat udara tipe CN295 buatan PT. Dirgantara Indonesia dengan rute khusus ke wilayah-wilayah terpencil guna memelihara pertahanan dan keamanan di wilayahwilayah tersebut. Salah satu alasan pesawat udara tipe CN295 dioperasikan untuk penerbangan perintis adalah kemampuan short take off and landing (STOL) yang dimilikinya yaitu kemampuan pesawat untuk melakukan tinggal landas dan mendarat dengan jarak pendek di atas landasan pacu. Kemampuan pesawat udara tipe CN295 untuk melakukan STOL tidak lepas dari pengaruh desain sayap berupa airfoil, sudut sweep, taper ratio, aspect ratio dan jenis ekor pesawat. Tidak hanya pada pesawat udara tipe CN295, sayap yang menjadi salah satu komponen utama semua pesawat terbang berjenis sayap tetap bahkan pesawat udara tanpa awak diketahui memiliki peran cukup besar dalam menentukan kemampuan terbang pesawat itu sendiri.

Berangkat dari hal tersebut, buku ini akan mengkaji desain sayap yang mirip dengan sayap pesawat udara CN295 untuk mengetahui karakter fluida yang mengalir di sekitar sayap dan performa aerodinamika sayap. Selain itu, akan dianalisis pengaruh penambahan boundary layer control berupa vortex generator pada sayap tersebut.

Visualisasi pesawat CN295 dapat diamati pada Gambar 1.1 sebagai berikut:



Gambar 1.1 Pesawat udara CN295 TNI AU buatan PTDI (Sumber : https://www.indonesian-aerospace.com/photo#prettyPhoto/7/)

Penggunaan vortex generator sebagai boundary layer control pada sayap dimaksudkan untuk menunda terjadinya pemisahan aliran fluida pada daerah lapis batas di permukaan sayap. Vortex generator dapat meningkatkan momentum fluida sehingga energi kinetik fluida meningkat dan mampu melawan adverse pressure gradient dan tegangan geser permukaan yang terjadi. Kondisi ini dapat mempercepat transisi dari aliran laminar menjadi aliran turbulen pada sayap pesawat dan menunda terjadinya separasi aliran. Vortex generator memiliki bentuk yang sederhana dan relatif mudah dipasang di permukaan sayap pesawat sehingga menjadi alternatif yang cukup baik untuk meningkatkan performa aerodinamika sayap secara ekonomis.

Visualisasi *vortex generator* dapat diamati pada Gambar 1.2 sebagai berikut:



Gambar 1.2 *Vortex generator* pada sebuah sayap pesawat udara (Sumber: *https://phys.org/news/2012-09-scientists-purpose-vortex.html*)

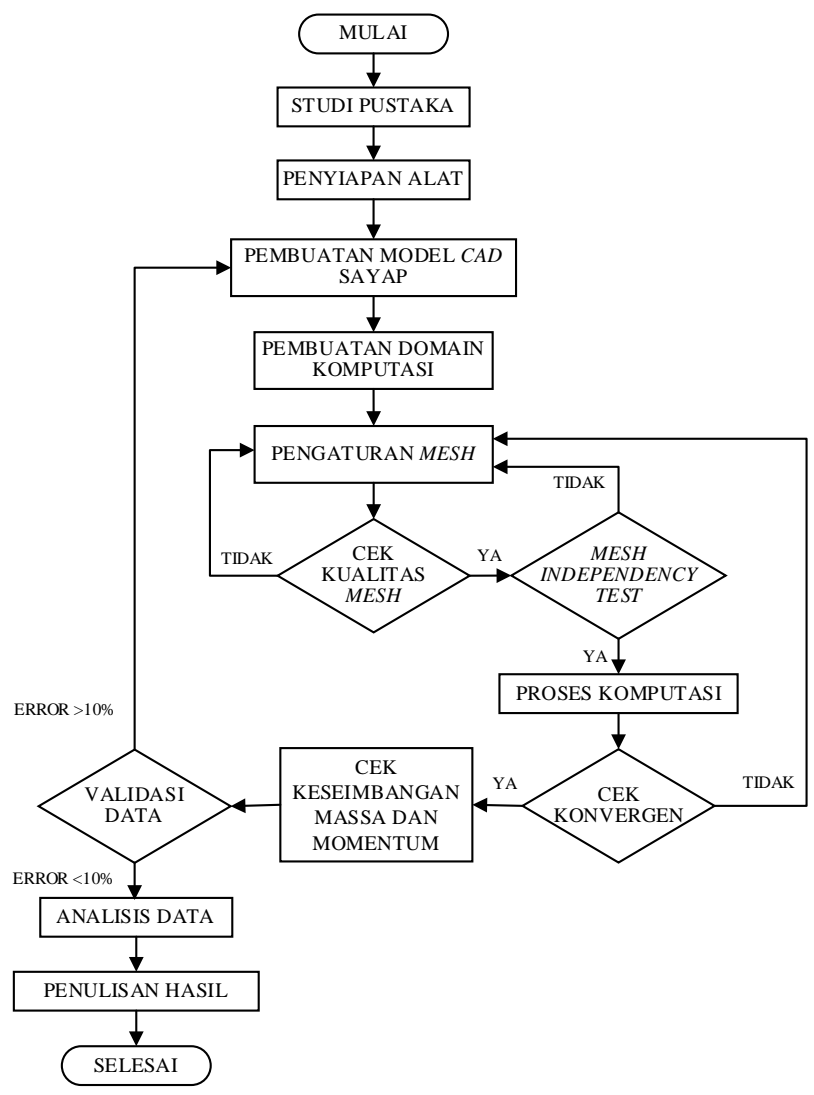
Karakter aliran fluida yang melewati *vortex generator*, serta pengaruhnya terhadap performa aerodinamika sayap akan dianalisis secara numerik menggunakan perangkat lunak komputasi dinamika fluida *ANSYS Student 2022R2*. Validasi data numerik dilakukan dengan membandingkan data hasil kajian dalam buku ini dengan hasil kajian serupa yang telah dilaksanakan sebelumnya. Analisis numerik dipilih sebagai metode penelitian karena dinilai efektif, efisien dan memiliki tingkat akurasi yang mencukupi untuk menjadi pelengkap maupun alternatif dari metode eksperimen.

Berdasarkan uraian diatas, yang menjadi poin utama yang dikaji dalam buku ini yakni: Pertama, bagaimana pengaruh variasi penggunaan vortex generator terhadap koefisien lift, koefisien drag dan lift to drag ratio pada berbagai variasi sudut serang dan kecepatan. Kedua, bagaimana perbandingan performa aerodinamika model sayap terhadap variasi penggunaan vortex generator. Dan ketiga, bagaimana visualisasi aliran udara di sekitar sayap ketika terpengaruh oleh vortex generator.

Kemudian, agar didapatkan pembahasan yang fokus, maka penulis membatasi ruang lingkup kajian meliputi: Pertama, pemodelan sayap *Computer Aided Design 3 Dimension (CAD 3D*)

menggunakan skala 1:1 dan disederhanakan sedemikian rupa sehingga feasible untuk dikaji. Kedua, model viskos yang digunakan adalah k-omega SST. Ketiga, aliran fluida diasumsikan unsteady, incompressible dan subsonic. Keempat, simulasi dilakukan pada variasi sudut serang -15° sampai dengan +15° dan variasi kecepatan 50 km/jam sampai dengan 100 km/jam. Kelima, validasi data dilakukan dengan membandingkan hasil kajian dalam buku ini dengan hasil eksperimen pada kajian serupa yang telah dilaksanakan sebelumnya. Keenam, vortex generator hanya dipasang secara berpasangan pada bagian atas model sayap dengan jarak 25% chord dan berada pada 50% leading edge. Dan ketujuh, parameter aerodinamika yang dikaji meliputi koefisien lift, koefisien drag, lift to drag ratio, sudut serang sayap dan aliran sekitar sayap.

Adapun secara metodologis, kajian ini dilaksanakan melalui beberapa tahap yang secara ringkas ditunjukkan dalam diagram alir pada Gambar 1.3 dibawah ini:



Gambar 1.3 Diagram Alir

Pendekatan simulasi numerik atau komputasi, dilakukan untuk mengkaji objek berupa model sayap berjenis *airfoil NACA 2412*. Model sayap yang dikaji dalam simulasi numerik telah disederhanakan sedemikian rupa sehingga *feasible* saat proses komputasi menggunakan perangkat lunak *ANSYS Student 2022R2*. Pada bagian atas model sayap tersebut dipasang *vortex generator* dengan variasi jumlah dan

letak pemasangannya terhadap *leading edge*. Adapun domain yang digunakan dalam komputasi berupa domain translasi yang terdiri dari domain *fluid* berbentuk kotak dan domain *solid* berupa model sayap.

Untuk mengetahui performa aerodinamika model sayap tersebut, digunakan beberapa variabel penelitian, antara lain: Pertama, penggunaan variabel bebas antara lain jenis *airfoil NACA 2412*, variasi pemasangan *vortex generator*, variasi sudut serang dan variasi kecepatan aliran udara pada inlet. Kedua, variabel terikat yang dianalisis adalah performa aerodinamika model sayap meliputi koefisien *lift* (C_L), koefisien *drag* (C_D), *lift-drag ratio* ($C_{L/}$ C_D) dan visualisasi aliran fluida di sekitar model sayap. Ketiga, variabel kendali antara lain yaitu model viskos, propertis domain fluida dan propertis domain *solid* pada metode numerik.

Selanjutnya terkait alat dan bahan. Pada pelaksanaan metode numerik, digunakan perangkat keras dan perangkat lunak komputer serta model sayap berupa gambar *CAD 3D*. Untuk lebih jelasnya, alat dan bahan yang digunakan dapat dirangkum sebagai berikut: Pertama, alat yang digunakan pada metode numerik meliputi beberapa perangkat keras dan perangkat lunak. Adapun perangkat keras yang digunakan dapat diamati pada Tabel 1.1 sebagai berikut:

Tabel 1.1 Tabel Spesifikasi Perangkat Keras Untuk Metode Numerik

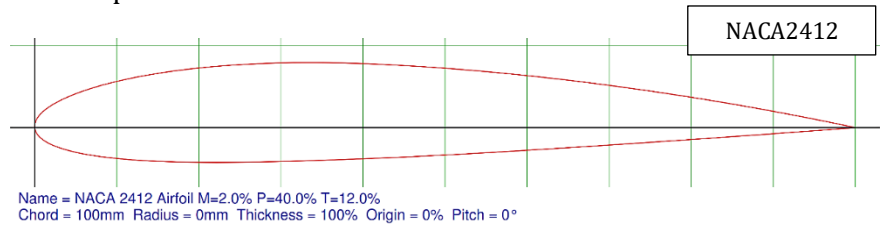
NO	JENIS PERANGKAT KERAS	NAMA PERANGKAT KERAS	
1.	Jenis Komputer	Laptop HP model 14- bs007TX	
2.	Processor	Processor Intel(R) Core(TM) i5-7200U CPU @ 2.50GHz, 2712 Mhz, 2 Core(s), 4 Logical Processor(s)	
3.	Motherboard	HP 831F 17,42	
4.	RAM	4,00 GB + 8,00 GB DDR4	
5.	Render	AMD Radeon (TM) R5 M330 4GB	
6.	Storage	HDD 1TB	
7.	Cooling System	Casing Fan	
8.	Power Supply Unit	HP 65W AC Adapter Unit	

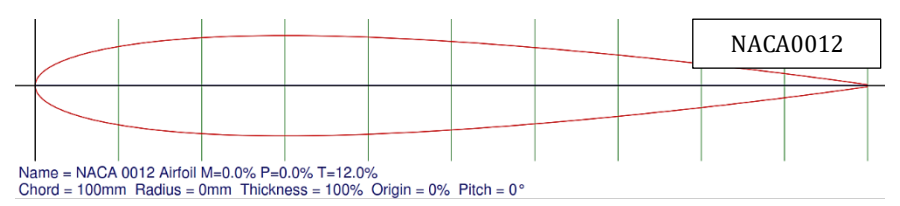
Perangkat lunak yang digunakan meliputi *Operating System Windows 10 Pro 64bit* untuk menjalankan laptop dan beberapa varian dari perangkat lunak *ANSYS Student 2022R2. ANSYS Student 2022R2* memiliki keterbatasan pada jumlah *cell* atau *nodes* yang dapat dibentuk saat proses *meshing* untuk *fluid physics* yaitu maksimum 512.000 *cells* (*elements*) atau *nodes*. Daftar perangkat lunak yang digunakan dapat dilihat pada Tabel 1.2.

Tabel 1.2 Tabel Perangkat Lunak Untuk Metode Numerik

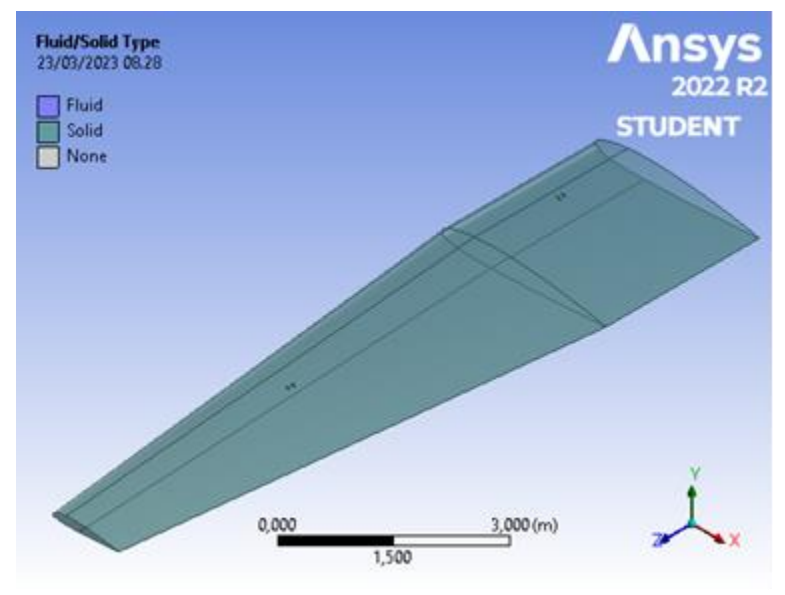
NO	TAHAPAN		PERANGKAT LUNAK
1.	Operating System		Windows 10 Pro 64bit
2.	Preprocessing	CAD 3D Technical Drawing Meshing	ANSYS Workbench 2022R2 ANSYS Design Modeller 2022R2 ANSYS Space Claim 2022R2 ANSYS Meshing 2022R2
3.	Flow Solving	Komputasi	ANSYS Fluent 2022R2
4.	Postprocessing	Data dan Visualisasi	ANSYS CFD-Post 2021R1 Academic
5.	Word Processing	g	Microsoft Office 365

Kedua, bahan yang digunakan berupa gambar *CAD 3D* model sayap *airfoil* jenis *NACA 2412* sebagai domain *solid* dan gambar *CAD 3D* berbentuk kotak sebagai domain fluida atau *enclosure*. Adapun geometri *airfoil NACA 2412* dan *NACA0012* dapat diamati pada Gambar 1.4, geometri *CAD 3D* model sayap dapat diamati pada Gambar 1.5 dan geometri *CAD 3D* model *vortex generator* dapat diamati pada Gambar 1.6.

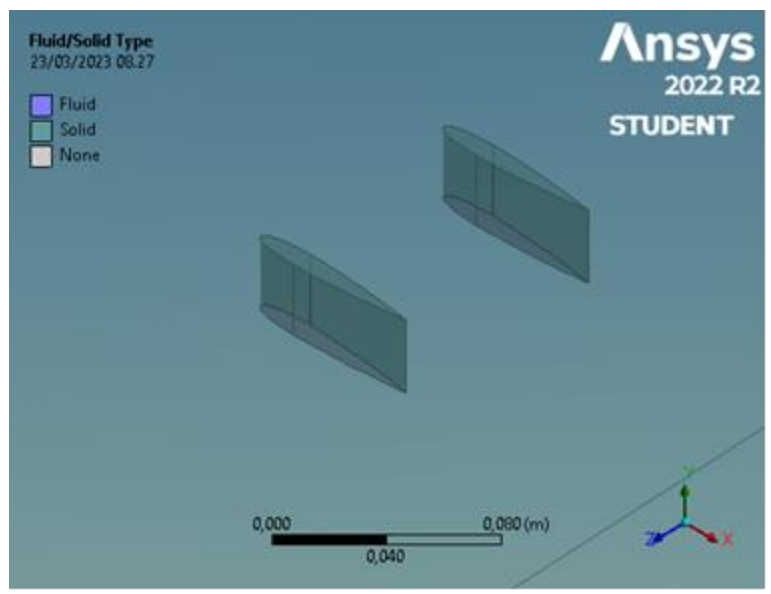




Gambar 1.4 Geometri 2D airfoil hasil plotting di website www.airfoiltools.com



Gambar 1.5 CAD 3D model sayap. Image used courtesy of ANSYS, Inc.

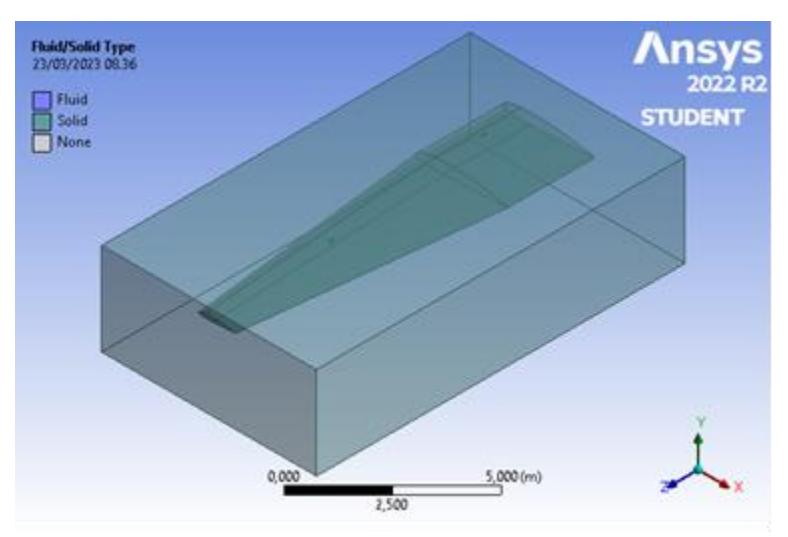


Gambar 1.6 CAD 3D vortex generator. Image used courtesy of ANSYS, Inc.

Selanjutnya, langkah kajian dilakukan dengan metode numerik melalui Komputasi Dinamika Fluida (KDF) atau Computational Fluid Dynamics (CFD), sebagai berikut: Pertama, Komputasi Dinamika Fluida (KDF). Metode KDF terdiri dari tiga tahap antara lain preprocessing, flow solving dan postprocessing. Langkah-langkah yang dilakukan pada tiap tahap adalah: (1) Tahap prepocessing diawali dengan pembuatan domain komputasi berupa solid dan fluida. Domain solid adalah model CAD 3D sayap yang menjadi objek penelitian, sedangkan domain fluida berupa udara berbentuk kotak menyerupai test section pada terowongan angin. Dalam kajian ini, digunakan perangkat lunak ANSYS Design Modeller 2022R2 untuk menggambar model CAD 3D sayap dan domain fluida atau enclosure. Data airfoil NACA 2412 yang digunakan dalam kajian dalam buku ini merupakan hasil *plotting* dari *website www.airfoiltools.com* sedangkan geometri model sayap dibuat mirip dengan sayap pesawat CN295. Acuan gambar objek geometri sayap diperoleh dari C-295 Maintenance Manual Chapter 06 Dimensions and Areas. Domain fluida dibuat sedemikian hingga dapat digunakan untuk mengamati pergerakan aliran fluida di sekitar model sayap. Domain fluida berbentuk kotak sehingga diperoleh domain komputasi yang terdiri dari

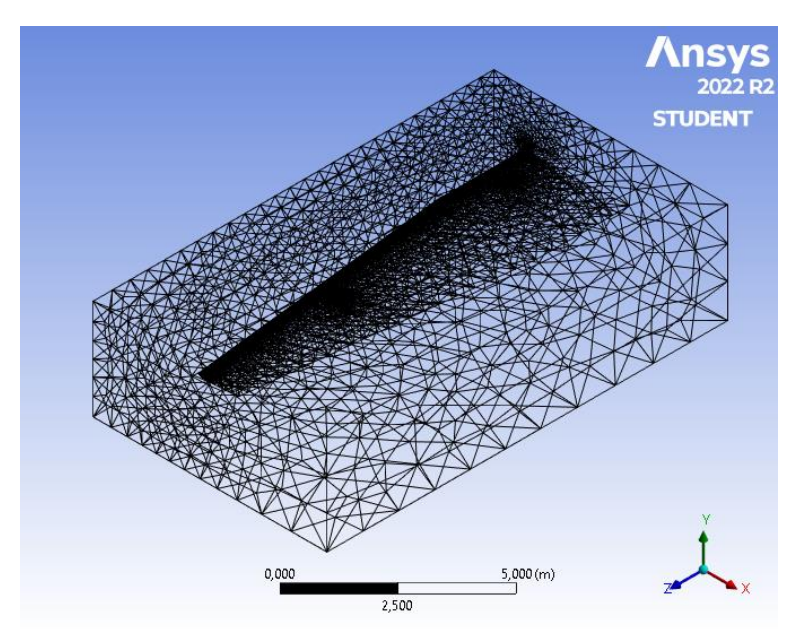
gabungan antara domain *solid* dan domain fluida yang siap diproses *meshing*. Langkah selanjutnya adalah menggunakan *ANSYS Space Claim 2022R2* untuk membuat *technical drawing*.

Adapun domain komputasi dapat diamati pada Gambar 1.7.

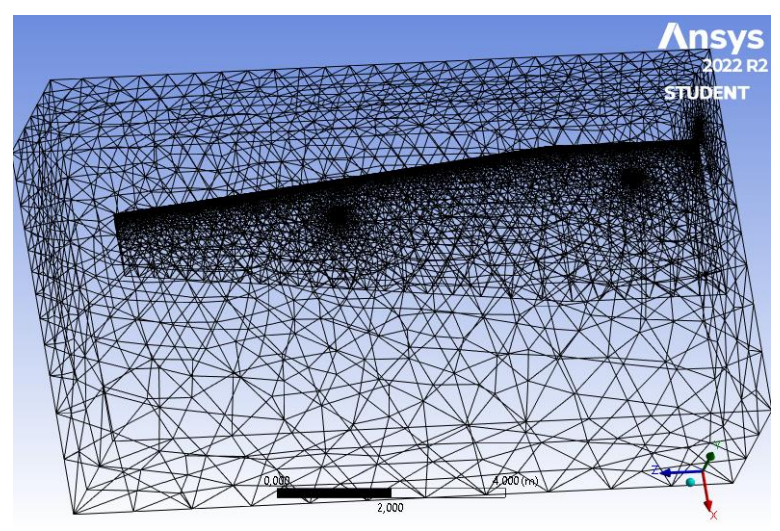


Gambar 1.7 Geometri domain komputasi. Image used courtesy of ANSYS, Inc.

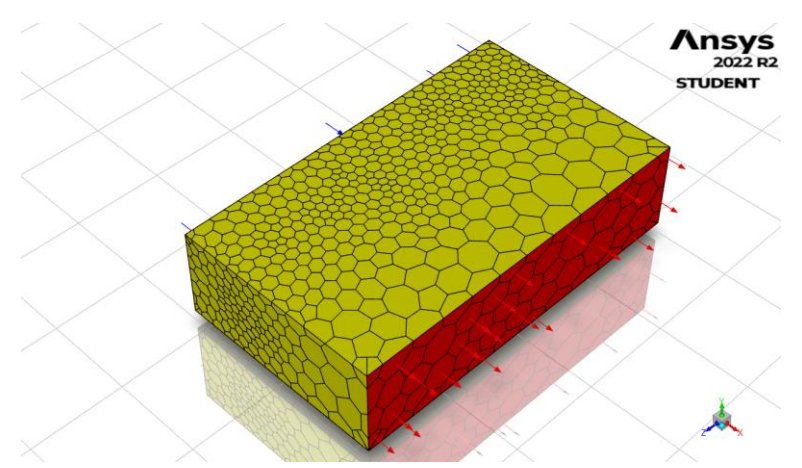
Tahap prepocessing selanjutnya adalah pengaturan meshing pada domain komputasi. Proses ini sangat penting karena pengaturan dan kualitas meshing menentukan akurasi hasil komputasi oleh solver. Dalam kajian ini, digunakan perangkat lunak ANSYS Meshing 2022R2 untuk mengatur mesh atau diskritisasi pada domain komputasi. Perangkat lunak ini dijalankan melalui cell pada project scematic ANSYS Workbench 2022R2. Selanjutnya diperiksa terlebih dulu pengaturan default mesh. Pada kajian ini, domain komputasi memiliki fitur-fitur yang sederhana sehingga dipilih mesh tipe hexahedral pada geometri yang mudah dibentuk dengan mesh tersebut. Guna meningkatkan kualitas mesh maka diatur ukuran elemen mesh secara global. Kemudian, mesh diubah menjadi jenis polyhedral untuk mempercepat proses iterasi. Hasil meshing dapat diamati pada Gambar 1.8. Gambar 1.9 dan Gambar 1.10.



Gambar 1.8 Hasil *global meshing* tanpa *vortex generator*



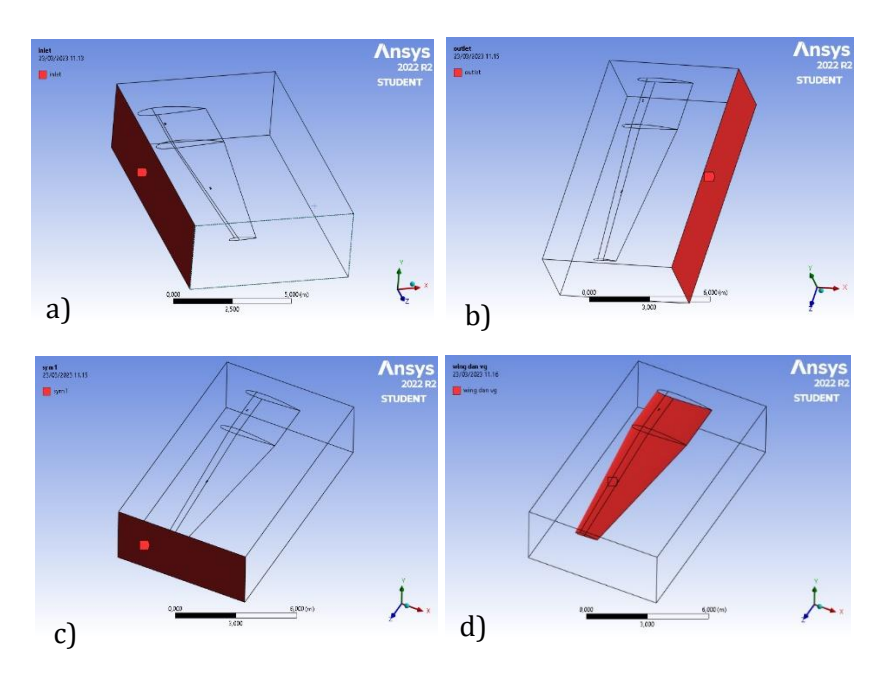
Gambar 1.9 Hasil meshing dengan vortex generator



Gambar 1.10 Hasil meshing polyhedral

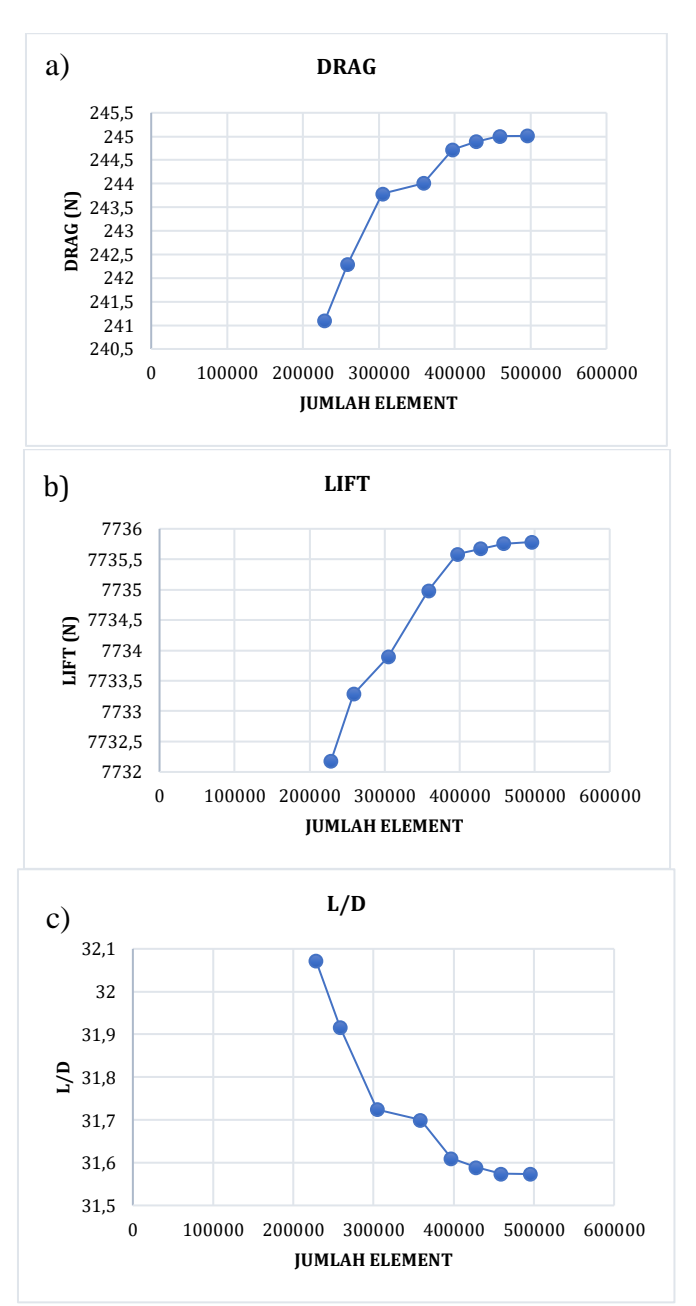
Pengaturan mesh dilanjutkan dengan mendefinisikan bidang boundary condition. Pengaturan dilakukan dengan mendefinisikan inlet, outlet, symmetry dan wall pada domain komputasi. Pada simulasi dengan sudut serang positif, bidang inlet didefinisikan pada enclosure face yang berada di depan leading edge, bagian bawah dan samping (wing tip). Outlet didefinisikan pada enclosure face yang berada di bagian atas model sayap dan belakang trailing edge model sayap. Apabila sudut serang bernilai negatif, bidang inlet didefinisikan pada enclosure face yang berada di depan leading edge, bagian atas dan samping, sedangkan outlet didefinisikan pada enclosure face yang berada di bagian bawah model sayap dan belakang trailing edge model sayap. Adapun bidang symmetry didefinisikan pada enclosure face vang menempel pada bagian penampang airfoil model sayap sebagai wing root dan wall didefinisikan pada model sayap dan dinding domain fluida dengan no-slip condition. Pengaturan lainnya menggunakan pengaturan standar dari ANSYS Mesh 2022R2.

Adapun pengaturan bidang boundary condition dapat diamati pada Gambar 1.11.



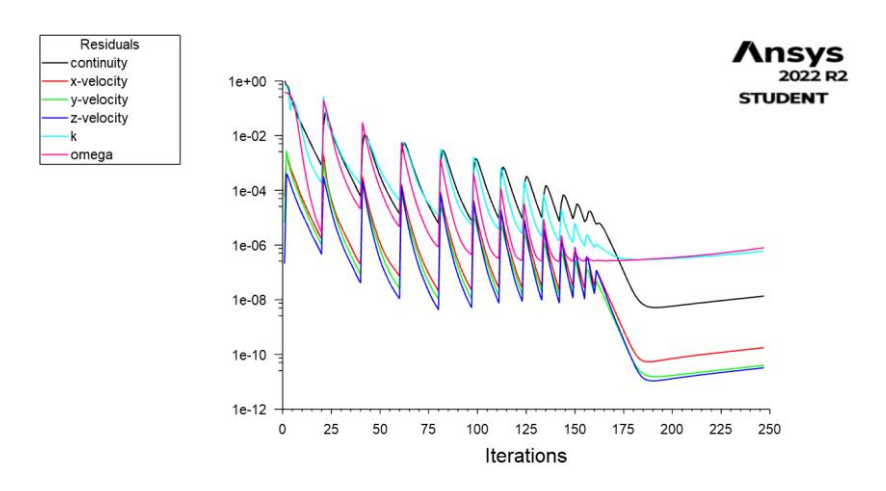
Gambar 1.11 Definisi bidang boundary condition, a) inlet, b) outlet, c) symmetry, d) wing dan vg
Image used courtesy of ANSYS, Inc.

Langkah selanjutnya adalah memeriksa kualitas *mesh* dan memperbaikinya apabila terjadi kesalahan. Hasil pengaturan *mesh* diperiksa berdasarkan dua standar yang telah ditentukan oleh *ANSYS Inc.* yaitu *skewness* dan *orthogonal quality*. Hasil *meshing* pada kajian dalam buku ini memiliki nilai *skewness* maksimum 0,84851 sehingga masuk kategori *acceptable* dan standar nilai *orthogonal quality* minimum 0,15149 sehingga masuk kategori *acceptable*. Sebelum masuk tahap *solving*, terlebih dulu dilakukan *mesh independency test* untuk memeriksa pengaruh jumlah *mesh* terhadap deviasi hasil simulasi. Hasil *mesh independency test* pada Gambar 1.12 menunjukkan bahwa pada jumlah elemen sebanyak 458.909 telah menghasilkan nilai *drag* dan *lift* yang relatif konstan. Oleh sebab itu, jumlah elemen tersebut dinilai sudah mencukupi untuk digunakan pada simulasi ini.

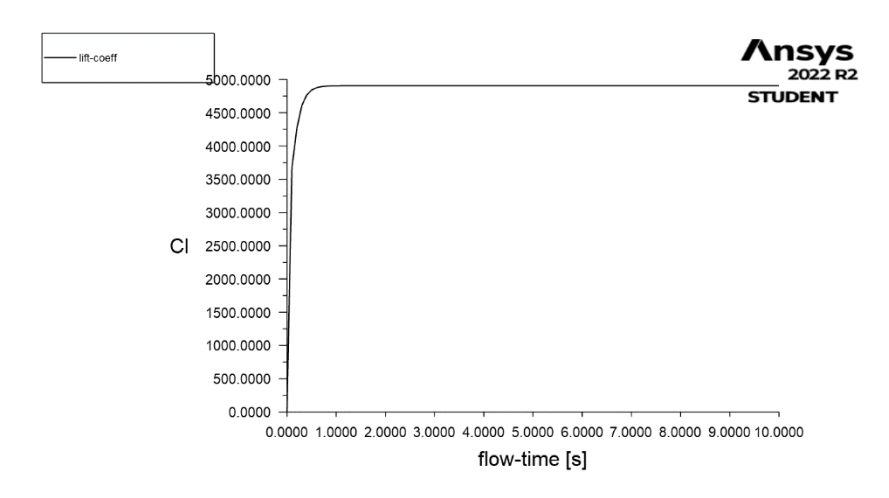


Gambar 1.12 Hasil *mesh independency test*, a) *drag* terhadap jumlah elemen, b) *lift* terhadap jumlah elemen, c) *L/D* terhadap jumlah elemen

Grafik *residual* dan *report plot* dapat diamati pada Gambar 1.13 dan Gambar 1.14.



Gambar 1.13 Residual. Image used courtesy of Ansys, Inc.



Gambar 1.14 Report plot C_{l} . Image used courtesy of Ansys, Inc.

Kedua, tahap *flow solving*. Pada tahap ini digunakan perangkat lunak *ANSYS Fluent 2022R2* yang sudah terintegrasi dengan *ANSYS Workbench 2022R2*. Pengaturan pada *Fluent Launcher* adalah *3D, Double Precision* dan *Display Mesh After Reading*. Sebelum dilakukan pengaturan *solver* lebih lanjut, terlebih dulu dilakukan *Mesh Check*.

Pengaturan umum solver adalah Pressure Based dan Transient. Data Gravity digunakan -9,81 m/s² pada kolom y. Model viskos yang digunakan dalam kajian ini adalah κ -omega SST (2 equations). Sedangkan pengaturan Solution Methods meliputi pengaturan pada Pressure-Velocity Coupling Scheme digunakan Coupled, pada Spatial Discretization digunakan Least Square Cell Base Gradient, Second Order Pressure, Second Order Upwind Momentum sedangkan pengaturan lainnya digunakan pengaturan standar.

Pada kajian ini digunakan monitor iterasi berupa *Residual Monitors* yang terdiri dari *continuity, x-velocity, y-velocity, z-velocity, κ* dan *omega* dengan *absolute criteria* masing-masing sebesar 0,00001 dan dapat diperkecil untuk menghindari *autostop* pada jumlah iterasi sedikit. Selain *residual monitors*, juga digunakan *report plot lift coefficient* dan *report plot drag coefficient* untuk mengetahui pengaruh iterasi terhadap perubahan koefisien *lift* dan *drag*.

Pengaturan perubahan variabel sudut serang dilakukan dengan mengubah nilai *flow direction* pada *x-component* dan *y-component* pada *velocity inlet* sesuai dengan nilai *cosine* dan *sine* tiap sudut serang yang diteliti. Sedangkan pengaturan kecepatan *inlet* dilakukan dengan mengubah *velocity magnitude. Outlet* menggunakan *pressure-outlet* dengan *gauge-pressure* 0 Pa.

Langkah selanjutnya adalah *Initialization*. Metode yang digunakan adalah *Standard Initialization* dengan pengaturan *Compute from inlet* dan *Reference Frame Relative to Cell Zone*. Setelah *Initialization* selesai dilanjutkan pengaturan *Calculation*.

Simulasi unsteady atau transient dilakukan dengan asumsi flow time 1 detik sehingga diatur Number of Time Step sebanyak 100 dan Time Step Size selama 0,1 detik. Maximum Iteration/Time Step diatur sebanyak 20 kali iterasi dengan tujuan untuk mendapatkan hasil yang stabil dan konsisten. Pengaturan lainnya menggunakan pengaturan standar dari ANSYS Fluent 2022R2. Konvergensi mengacu pada hasil kalkulasi perangkat lunak yang akan melaporkan hasil konvergen pada iterasi tertentu melalui Concole atau hasil pemantauan pada grafik Residual Monitors dan grafik Report Plots. Hasil akan diasumsikan konvergen apabila Residual Monitors menunjukkan grafik telah mencapai nilai Absolute Criteria atau cenderung stabil pada nilai tertentu dan grafik pada report plot lift coefficient dan report plot drag coefficient juga cenderung stabil pada nilai tertentu. Proses

kalkulasi akan dilakukan satu persatu untuk tiap kombinasi parameter yang diteliti.

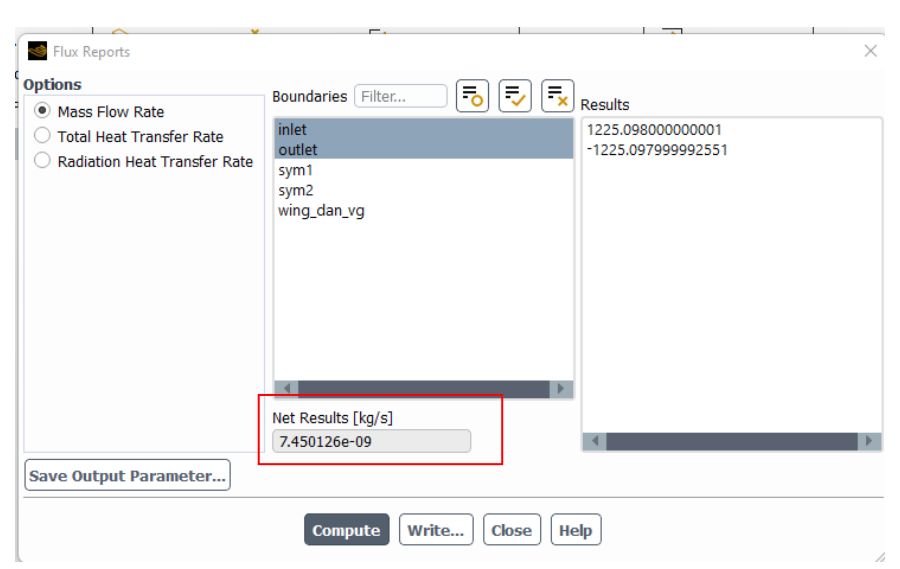
Adapun pengaturan solver dirangkum pada Tabel 1.3.

Tabel 1.3 Rangkuman Pengaturan Solver

Launcher	3D. Double Precision	dan Display Mesh After
	Reading	
	Solver Type	Pressure-Based
	Time	Transient
General	Gravity	<i>Y component = -9,81</i>
		m/s^2
Model	Viscous Model	к-omega SST (2
		equations)
Material	Fluid	Air
	Inlet	velocity -inlet
		(Magnitude And
		Direction)
		Sesuai variasi
		kecepatan dan sudut
Boundary		serang (m/s dan °)
Condition	Outlet	pressure-outlet
		gauge-pressure 0 Pa
	Symmetry	Symmetry
	Wall	No-slip condition
		Model sayap dan
		dinding domain fluida
Report Definition	Lift coeff dan drag co	
Residual	Absolute criteria	0,00001
Solution	Standard	Compute From inlet
Initialization	Reference Frame	Relative to Cell Zone
	Autosave Every	1
Calculation	(time step)	
Activities	Automatic Report	CDAT for CFD-Post &
		EnSight
Time	Parameter	Number of Time Step
Advancement		100
		Time Step Size 0,1 s

	Max Iteration/Time Step 20
Flow Time	10 s
Total Iteration	2000

Proses selanjutnya adalah cek kesejimbangan massa pada inlet dan outlet. Pengecekan dilakukan melalui menu pilihan Flux Reports yang tersedia di perangkat lunak solver. Setelah dilakukan Compute, diperoleh data pada *inlet, mass flow rate* terindikasi sebesar 1.225,098 kg/s sedangkan pada outlet, mass flow rate terindikasi sebesar 1.225,097 kg/s. Tanda positif menunjukkan massa masuk ke sistem sedangkan tanda negatif menunjukkan massa keluar dari sistem. Dapat diketahui bahwa terjadi perbedaan mass flow rate yang sangat kecil sehingga dapat dianggap tidak mempengaruhi sistem dan telah keseimbangan teriadi massa pada aliran fluida. Hasil keseimbangan *mass flow rate* dapat diamati pada Gambar 1.15.



Gambar 1.15 Hasil cek keseimbangan mass flow rate. Image used courtesy of ANSYS, Inc.

Ketiga, tahap *postprocessing*. Setelah *Run Calculation* selesai dilanjutkan tahap *postprocessing* menggunakan perangkat lunak *ANSYS CFD-Post 2021R1 Academic* yang sudah terintegrasi dengan *ANSYS Workbench 2022R2*. Pada tahap ini diperoleh data hasil

kalkulasi yang dapat ditampilkan dalam bentuk visualisasi animasi, grafik dan gambar kontur parameter yang diamati di sekitar *object* antara lain koefisien *lift*, koefisien *drag*, *lift to drag ratio*, *velocity* dan *pressure*. Hasil *postprocessing* digunakan untuk analisis data.

Dan yang terakhir, yakni tahap analisis data. Setelah diperoleh data pada postprocessing, langkah selanjutnya adalah analisis data. Tahap ini diawali dengan validasi data terlebih dulu. Dalam rangka meminimalkan terjadinya deviasi, validasi data akan dilakukan dengan membandingkan hasil kajian dalam buku ini dengan hasil eksperimen terdahulu yang sama baik objek, fenomena, boundary condition maupun pendekatan physical properties. Data hasil eksperimen yang akan digunakan sebagai validasi adalah data koefisien *lift* dan koefisien *drag* hasil penelitian (Bangash dkk, 2006) tentang Aerodynamic of Formation Flight yang meneliti performa aerodinamika airfoil NACA2412 pada sudut serang 0° sampai dengan 15° dengan kecepatan konstan 110 ft/s. Apabila terjadi penyimpangan kurang dari 10% maka akan dilanjutkan dengan analisis data. Analisis data dititikberatkan pada pengaruh variabel bebas terhadap variabel terikat secara kualitatif dan kuantitatif. Adapun analisis kualitatif dan kuantitatif dilakukan secara simultan dengan menganalisis visualisasi interaksi aliran fluida di sekitar vortex generator dan permukaan sayap serta pengamatan terhadap grafik dan gambar yang diperoleh pada tahap *postprocessing*.

Akhirnya, manfaat dari kajian dalam buku ini bagi kalangan akademisi maupun industri adalah sebagai berikut: Pertama, meningkatkan kemampuan intelektual dalam mengembangkan performa aerodinamika pesawat terbang yang dapat diimplementasikan baik untuk kebutuhan militer maupun nonmiliter. Kedua, mendukung program pemerintah dalam rangka kemandirian industri pertahanan dan keamanan. Ketiga, dapat dijadikan referensi dalam merancang pesawat udara nir awak (PUNA) maupun modifikasi aerodinamika sayap pesawat dengan berbagai varian lainnya. Keempat, memperdalam pemahaman tentang karakter aerodinamis pada sayap pesawat terbang dengan berbagai variasi sudut serang, variasi kecepatan dan penggunaan vortex generator.